

Reporte de zonificación para la sub- área(s) Arauca-Arauca



Subdirección de Energía Eléctrica Grupo de Transmisión, Distribución y Cobertura

2022

F-DO-03 – V2

2022/08/12

Recuerde: Si este documento se encuentra impreso no se garantiza su vigencia, por lo tanto, se considera **"Copia No Controlada"**. La versión vigente se encuentra publicada en el Sistema de Gestión Único Estratégico de Mejoramiento - SIGUEME.



Tabla de contenido

Introducción	3
Metodología de zonificación de las subáreas	3
Resultados	6
Zona1	6
Zona2	8
Zona3	9



Introducción

Este documento tiene como objetivo presentar a los interesados un reporte de los resultados obtenidos con respecto a la zonificación de cada una de las barras del STN, STR y SDL que fueron evaluadas en el ciclo de asignación de capacidad de transporte y que pertenecen a la subárea(s) Arauca-Arauca.

Metodología de zonificación de las subáreas

Para la aplicación del modelo MACC es necesario determinar la capacidad máxima de transporte que tiene cada una de zonas eléctricas al interior de una subárea en específico, siendo estas zonas un grupo de barras con alto grado de correlación eléctrica, tal y como se presenta en la siguiente figura.

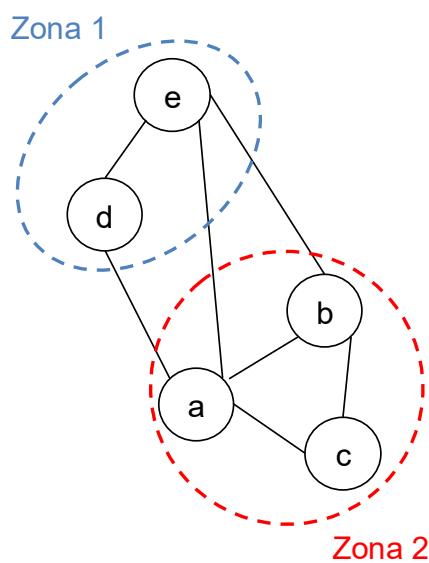


Figura 1. Agrupamiento en zonas de nodos con alto grado de correlación.

Se debe resaltar que la restricción de zonificación busca controlar que la capacidad de una zona eléctrica no sea excedida al conectar los proyectos de expansión y con esto poder controlar los problemas internos de cada una de las áreas operativas. Lo anterior se plantea en el modelo MACC por medio de las siguientes ecuaciones:

$$\sum_{p \text{ conectado a barra de la zona } z} CP_p \cdot u_{p,t} \leq CZ_{z,t} \quad \forall z, t,$$

$$CZ_{z,t} = \max(CB_{1,t}, CB_{2,t}, \dots, CB_{b,t}) \quad \forall b \text{ que pertenece a } z$$

donde:

Z	Conjunto de zonas del área de análisis.
$CZ_{z,t}$	Capacidad máxima de un conjunto de barras del sistema (zona) (MW).
$u_{p,t}$	Variable binaria que toma el valor de 1 cuando al proyecto p se le asigna capacidad de conexión.

Por otra parte, con el objetivo de identificar las zonas al interior de una subárea eléctrica, y teniendo en cuenta las metodologías para la zonificación que se destacan en el estado del arte, se implementa la teoría de grafos para realizar el agrupamiento de los diferentes nodos que puedan estar correlacionados al interior de la respectiva red eléctrica. Esto implica transformar la red eléctrica en un grafo que represente adecuadamente los nodos de dicha red con sus respectivas correlaciones, tal y como se muestra en la figura 2, siendo W los pesos que determinan el grado de relación eléctrica que existe entre los diferentes nodos que componen la red en cuestión.

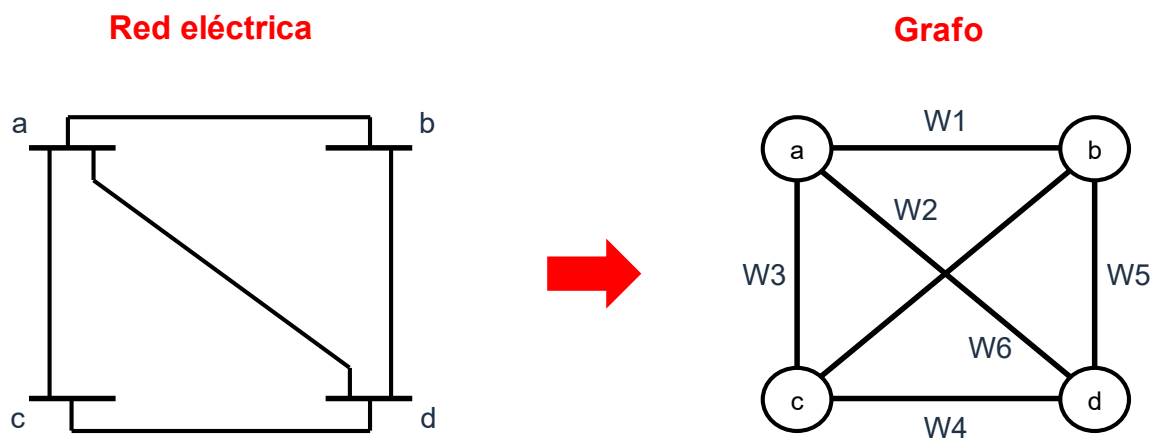


Figura 2. Transformación de una red eléctrica a un grafo equivalente.

Dado a que el peso W determina el grado de correlación entre los nodos, y conforme a lo que se presenta en (E. Cotilla-Sanchez, 2013), (S. Blumsack, 2009) se optó por utilizar factores de sensibilidad como variable eléctrica para representar dichos pesos, específicamente se toma la variación angular ante la inyección de potencia en un nodo específico mediante un flujo DC. Dentro los beneficios que se tiene al emplear esta metodología se encuentra la robustez y la reproducibilidad, además de simplificar el problema al volverlo lineal.

Al emplear la variación angular ante la inyección de potencia en un nodo específico ($d\theta/dP$) como criterio para correlacionar los diferentes nodos de la red se debe tener en cuenta que entre más grande sea este valor mayor es la correlación entre los nodos, sin embargo, para la teoría de grafos, entre menor sea el peso del enlace que existe entre dos nodos mayor

será la correlación entre estos. Teniendo en cuenta lo anterior se representa el peso W entre los nodos como se muestra a continuación:

$$W = \frac{1}{d\theta/dP}$$

Posteriormente, una vez se tiene definido el grafo que representa la red eléctrica en análisis, se procede a agrupar los nodos con mayor correlación (menor peso W entre ellos) por medio del método “K-Means” el cual tiene como función objetivo minimizar la sumatoria de los pesos internos en cada uno de los grupos y maximizar los pesos equivalentes que existe entre los n grupos que se determine por subárea.

Finalmente, para determinar un rango del número de zonas óptimo para hacer el agrupamiento, se emplea la metodología del Codo de Jambu el cual permite obtener el número de grupos óptimo en términos de la eficiencia computacional y la minimización de los pesos promedio al interior de cada uno de estos grupos. Un ejemplo del Codo de Jambu se puede observar en la figura 3, en la que se observa que a partir de un número de grupos el peso promedio al interior de cada uno de estos grupos no presenta mayor variación, permitiendo identificar el número de grupos mínimos para tener en cuenta.

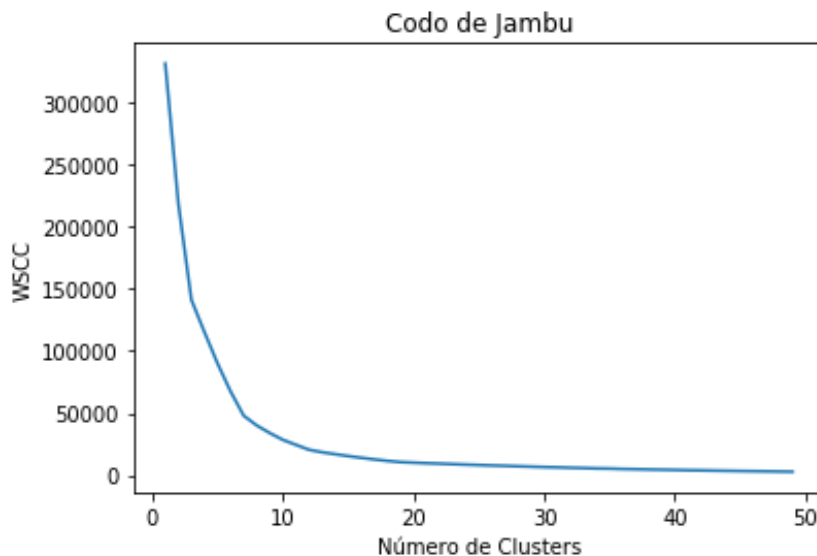


Figura 3. Ejemplo del Codo de Jambu.

Sumado a lo anterior, se define un límite máximo de grupos de manera que se obtenga en promedio 3 nodos en cada uno de los grupos lo que se traduce en la siguiente ecuación:

$$\underbrace{Min_Zonas} \leq N_Zonas \leq \underbrace{N_Nodos/3}$$

Número mínimo de zonas obtenido a partir del Codo de Jabu
 Número máximo de zonas obtenido a partir del número de nodos en evaluación

Resultados

A continuación, se presentan los resultados de la metodología de zonificación presentada anteriormente para la subárea(s) Arauca-Arauca.

Tabla 1. Resultados de zonificación para la subárea(s) Arauca-Arauca.

Zonas	Barras
Zona1	Banadía 220, Banadía 34.5 (Barra Banad 34.5), Playitas 115, La Paz 220, La Paz 115, Caño Limón 220 (C Limón 220), Banadía 115, Tame 115
Zona2	Toledo 220
Zona3	Samoré 220

Zona1

A continuación, se hace la presentación de los resultados obtenidos de capacidad máxima de transporte para la Zona1 a lo largo de todo el horizonte de planeación. Dicha zona está conformada por las barras Banadía 220, Barra Banad 34.5, Playitas 115, La Paz 220, La Paz 115, C Limón 220, Banadía 115, Tame 115. Los resultados se presentan de manera gráfica (Figura 4), como también de manera tabular (Tabla 2).

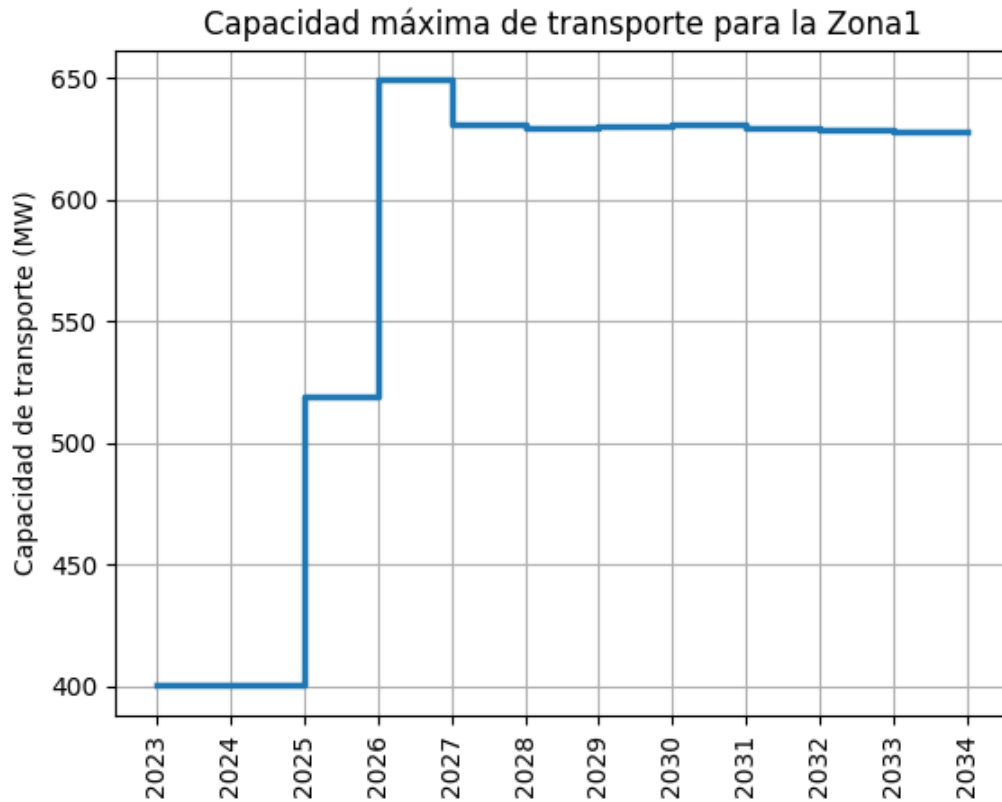


Figura 4. Capacidad máxima de transporte para la Zona1 a lo largo del horizonte de planeación.

Tabla 2. Capacidad máxima de transporte para la Zona1 para todo el horizonte de planeación.

Año	Capacidad (MW)
2023	400.39
2024	400.78
2025	519.14
2026	649.20
2027	631.19
2028	629.84
2029	630.23
2030	630.62
2031	629.27
2032	628.82
2033	628.37

Zona2

A continuación, se hace la presentación de los resultados obtenidos de capacidad máxima de transporte para la Zona2 a lo largo de todo el horizonte de planeación. Dicha zona está conformada por las barras Toledo 220. Los resultados se presentan de manera gráfica (Figura 5), como también de manera tabular (Tabla 3).

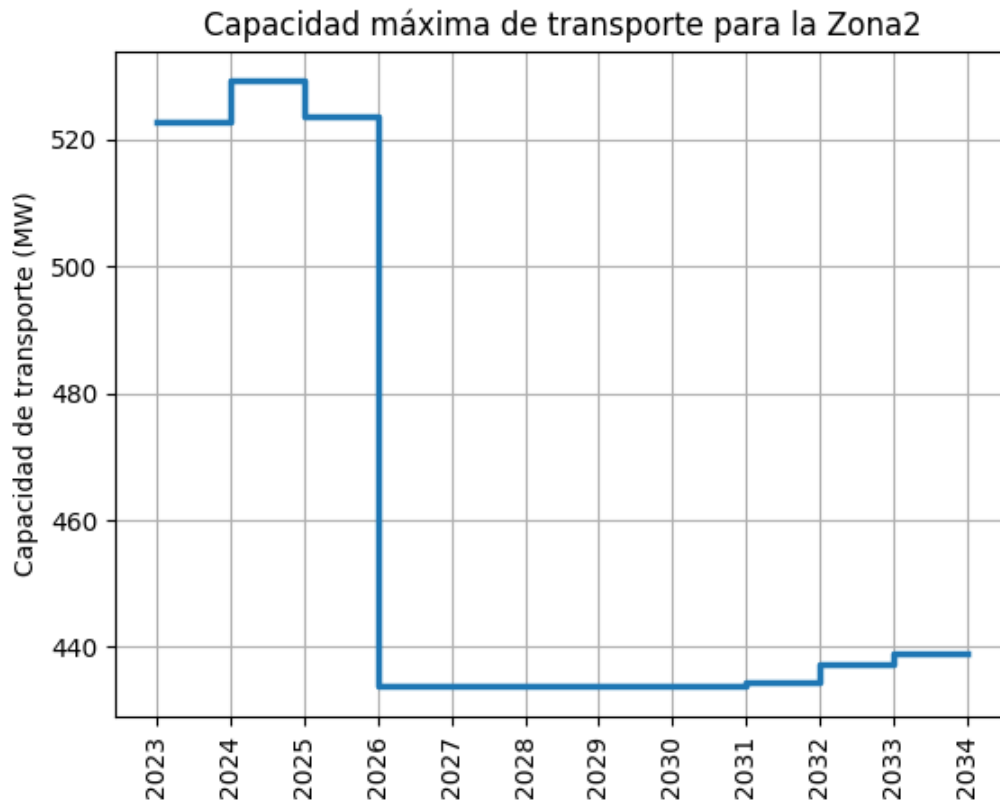


Figura 5. Capacidad máxima de transporte para la Zona2 a lo largo del horizonte de planeación.

Tabla 3. Capacidad máxima de transporte para la Zona2 para todo el horizonte de planeación.

Año	Capacidad (MW)
2023	522.64
2024	529.20
2025	523.76
2026	433.76
2027	433.76
2028	433.76
2029	433.76
2030	433.76

2031	434.38
2032	437.19
2033	439.07

Zona3

A continuación, se hace la presentación de los resultados obtenidos de capacidad máxima de transporte para la Zona3 a lo largo de todo el horizonte de planeación. Dicha zona está conformada por las barras Samoré 220. Los resultados se presentan de manera gráfica (Figura 6), como también de manera tabular (Tabla 4).

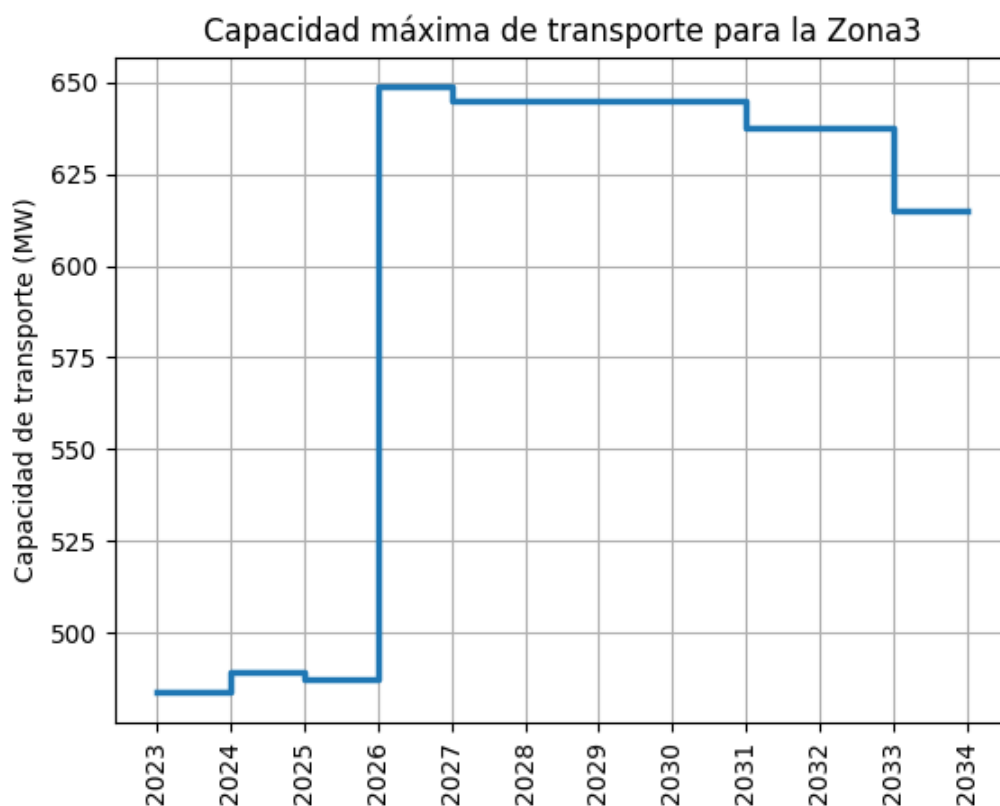


Figura 6. Capacidad máxima de transporte para la Zona3 a lo largo del horizonte de planeación.

Tabla 4. Capacidad máxima de transporte para la Zona3 para todo el horizonte de planeación.

Año	Capacidad (MW)
2023	483.74
2024	489.36
2025	487.30

2026	648.64
2027	644.75
2028	644.75
2029	644.75
2030	644.75
2031	637.34
2032	637.34
2033	615.09